

2018-2019秋季

信息隐藏课程

第2讲 图像编码与基本嵌入方法



中国科学院 信息工程研究所
INSTITUTE OF INFORMATION ENGINEERING CAS



SKLOIS
信息安全国家重点实验室

赵险峰

中国科学院信息工程研究所
信息安全国家重点实验室

2018年9月



1. 图像编码格式

- 空间编码格式
- 变换域编码格式

2. 基本嵌入方法

3. 文献阅读推荐



1-1 空域编码图像



- ❑ 空域编码是指在图像空间域进行编码，也就是直接针对图像像素进行编码
- ❑ 主要分为**光栅格式**与**调色板格式**两种
- ❑ 一个图像编码标准往往包括多类编码方法，一个图像仅仅是其一类方法的实例。例如，常见的BMP (Bitmap)、TIFF (Tagged Image File Format)、PNG (Portable Network Graphics) 均支持光栅格式与调色板格式编码，对这两种格式编码分别又支持多种具体编码方法
- ❑ 各类光栅图像往往还借助无损压缩减少图像尺寸。如，TIFF格式可以存储很多类型的图像，当存储彩色图像时，支持采用LZW压缩，当存储二值图像时，支持采用RLE (Run Length Coding) 压缩；PNG采用DEFLATE压缩，它是LZ77与Huffman编码的结合



1-2 空域编码图像：光栅格式（1）



- 直接**用数字阵列的形式存储图像像素**，但对每个像素的色彩或亮度表示方法有明确的规定
- RGB色彩模型**：每个彩色像素可以用对应红、绿、蓝三色的向量 (R, G, B) 表示，其中每个分量也称为通道。
 - 假设用 n 比特存储一个颜色分量，则 $(R, G, B) \in \{0, 1, \dots, 2^n - 1\}^3$ 。典型地，常见的BMP、PNG与TIFF图像允许用8比特表示一个颜色分量，此时色彩总数为 $2^{3 \times 8}$ ，色深为 3×8 比特；PNG与TIFF图像也允许采用16比特的颜色分量，此时的色彩总数为 $2^{3 \times 16}$
- 灰度图像与二值图像采用单通道的像素表达形式，因此，这类图像仅仅表达了亮度信息。根据三基色确定亮度的方法是

$$Y = 0.299R + 0.587G + 0.114B$$



1-3 空域编码图像：光栅格式（2）



☒ **YUV模型：同时存在亮度分量Y和色度分量U、V，有利于直接显示灰度信号** ($U = 0.492(B - Y)$, $V = 0.877(R - Y)$)

$$\begin{pmatrix} Y \\ U \\ V \end{pmatrix} = \begin{pmatrix} 0.299 & 0.587 & 0.114 \\ -0.147 & -0.289 & 0.436 \\ 0.615 & -0.515 & -0.100 \end{pmatrix} \begin{pmatrix} R \\ G \\ B \end{pmatrix}$$

注：以上是ITU-T BT.601的定义，其他标准的同类模型有不同

☒ **RGB每个分量用8比特表示，则取值范围在[0,255]之间，但是，以上YUV中除了Y分量在此范围取值外，U与V均可取负整数和正整数。为了统一取值范围为[0,255]，使得可以用1个8比特字节表示，定义以下 YC_bC_r 模型（TIFF、JPEG等采用）**

$$\begin{pmatrix} Y \\ C_b \\ C_r \end{pmatrix} = \begin{pmatrix} 0 \\ 128 \\ 128 \end{pmatrix} + \begin{pmatrix} 0.299 & 0.587 & 0.114 \\ -0.169 & -0.331 & 0.5 \\ 0.500 & -0.419 & -0.081 \end{pmatrix} \begin{pmatrix} R \\ G \\ B \end{pmatrix}$$

注：以上是JPEG等图像标准采用的 YC_bC_r 模型，其他标准的同类模型有不同



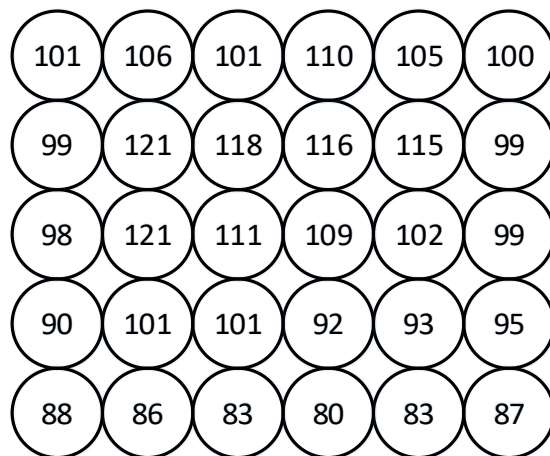
1-4 空域编码图像：调色板格式



- 对于卡通图、计算机图像等一些对色彩总数量要求较低的图像，采用调色板格式编码更加合适
- 这类编码方法也比较简单，特点是需要构造一个调色板，它是包括了全部色彩RGB表示的一张表，每个色彩按照排列次序有个索引值可以标定，图像像素仅仅包含相应色彩的索引值
 - 例如，当前调色板一般最多允许256个颜色，这样，每个彩色像素用8比特存储索引值即可
- 常用的调色板格式图像包括GIF格式，TIFF格式标准也包括调色板格式的存储形式



由索引值组成的像素



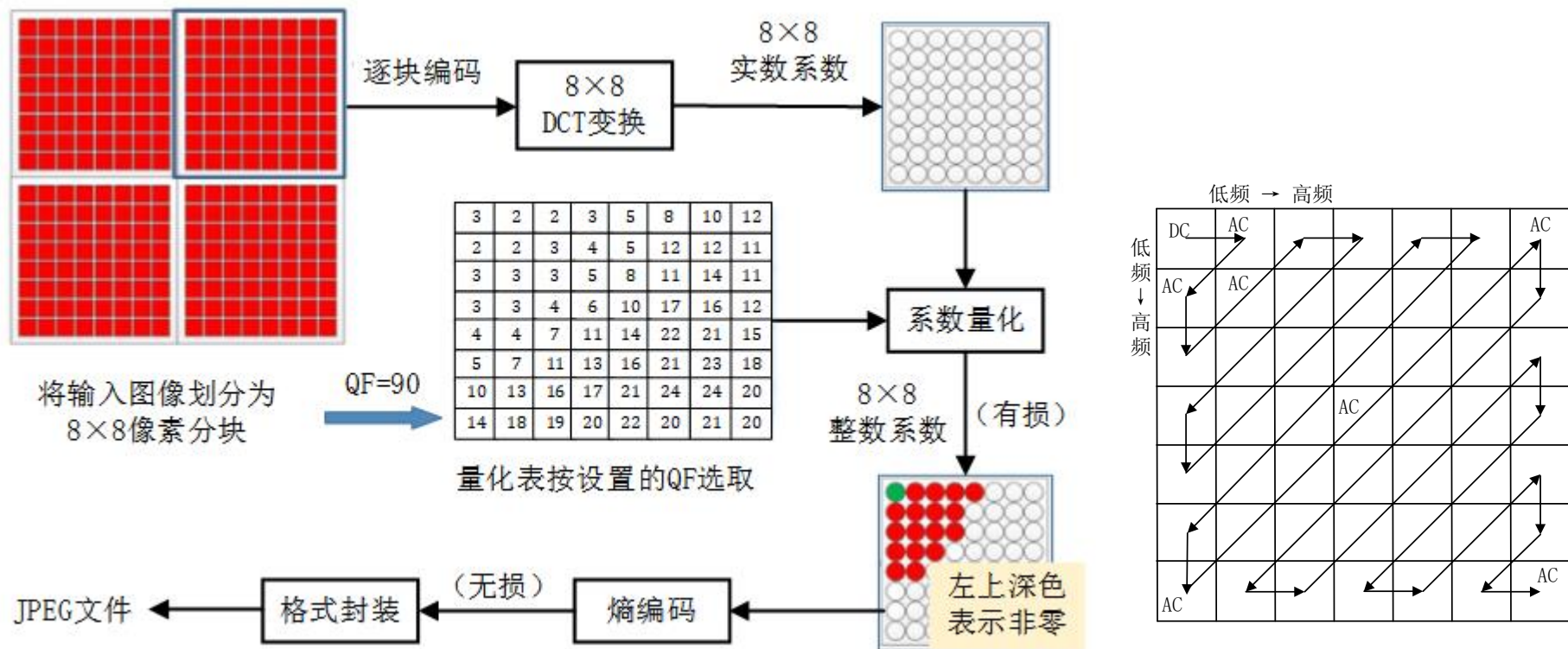
调色板

索引	RGB值
01	(R_1, G_1, B_1)
02	(R_2, G_2, B_2)
03	(R_3, G_3, B_3)
04	(R_4, G_4, B_4)
:	:
:	:
:	:
N	(R_N, G_N, B_N)

1-5 变换域编码JPEG图像：编码流程



变换域编码使用最多的是JPEG标准，它是联合图像专家组（Joint Picture Expert Group）制定的图像编码标准，特点是在变换域有损压缩编码，并采用无损压缩编码得到最后结果



1-6 变换域编码JPEG图像：编码步骤（1）



- ☒ **YCbCr 格式化**。JPEG编码的输入是YCbCr格式的空域图像信号，若输入不是该格式的图像则进行转换
- ☒ **图像分块**。将空域图像各个分量按照 8×8 像素的尺寸进行分块，如果图像不是分块尺寸的整数倍，需要向外扩充，这部分解码时不显示；考虑到人眼对亮度的敏感程度大于色彩，根据编码配置，编码器可对Cb与Cr分量进行下采样，使得一个 16×16 的宏块中包含4个Y分块，1、2或4个Cb或Cr分块，以进一步压缩尺寸（Y分量是常用的嵌入域）
- ☒ **DCT (Discrete Cosine Transform) 变换**。将每个输入值从 $[0, 255]$ 的范围平移到 $[-128, 127]$ ，对每个分块进行 8×8 的二维DCT变换，得到 8×8 的DCT系数分块。分块中最右上角为直流 (Direct Current, DC) 系数，其他系数为交流 (Alternating Current, AC) 系数



1-7 变换域编码JPEG图像：编码步骤（2）



- ☑ **量化**。根据质量参数设置，将DCT系数按照相应的量化表进行量化，得到整数DCT系数分块；量化采用量化表，量化表中元素数值越大，对应着更大程度的有损压缩。由于高频系数数值较小，一般在这一步处理中有很多系数变为0，这是有损编码的核心步骤，它为提高下面无损压缩的压缩率打下了基础
- ☑ **无损压缩**。按照Zig-zag次序将64个DCT系数排列成一维序列，之后，对这个序列包含的比特流无损压缩：
 - ☑ 由于相邻块的DC系数接近，采用差分编码（DPCM）节省存储，只记录相邻块AC系数差
 - ☑ 对于63个AC系数，由于连续的数值多，采用行程编码；最后，对以上DPCM与行程编码再进行Huffman编码，加上文件头后，得到JPEG图像最终的文件存储形式
- ☑ **LibJPEG开源工具包为操作JPEG文件提供了方便**





1. 图像编码格式

- 空间编码格式
- 变换域编码格式

2. 基本嵌入方法 (尚达不到隐写安全需求)

- LSBR
- LSBM
- 调色板图像嵌入
- QIM

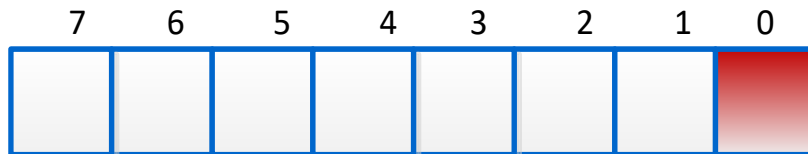
3. 文献阅读推荐



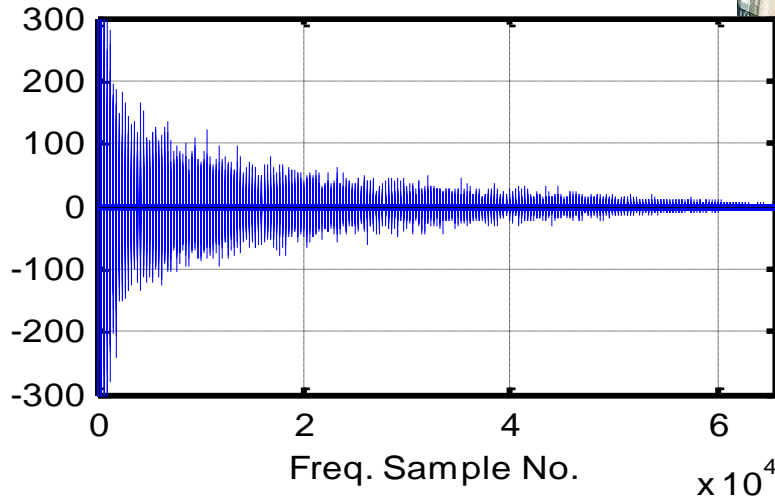
2-1 隐藏到哪儿? ——嵌入域 (整数、实数)



空间域像素 (图像)、时间域样点 (音频)



变换域系数 (实数)



有损编码域 (信号变换+系数量化+无损编码), 如 JPEG中的量化 (整数化) 后的分块DCT系数

需要有嵌入整数域或者实数域中的基本方法



2-2 LSB替换嵌入：操作（二元嵌入编码）

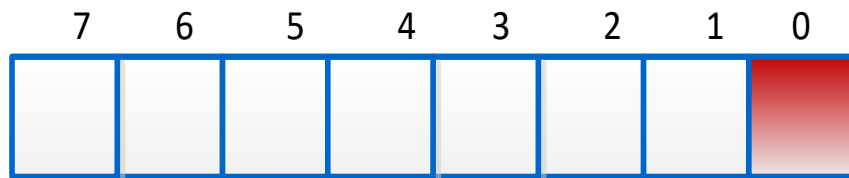


- ☑ **LSB替换 (LSB Replacement, LSBR)** 是指，**直接将载体嵌入域样点的LSB用待隐藏的秘密消息替换**。JSteg是互联网上可下载的隐写软件，它在JPEG量化DCT系数上采用LSBR嵌入消息
- ☑ 若 $x = (b_n, \dots, b_2, b_1)$ 表示一个载体样点值，其中 b_1 即为它的LSB，记 $\text{LSB}(x) = b_1$ ， $x' = (b_n, \dots, b_2, b'_1)$ 为嵌入消息后的样点。若 w 表示待隐藏信息的一个比特，LSBR嵌入一个比特的操作可以用二进制运算表示为 $b'_1 = w$ ，也可以用整数运算与GF(2)上运算分别表示为

$$x' = \begin{cases} x + w, & x \equiv 0 \pmod{2} \\ x + w - 1, & x \equiv 1 \pmod{2} \end{cases} \quad x, w \in \mathbb{Z}$$

$$x' = \begin{cases} x + w, & x = 0 \\ x + w + 1, & x = 1 \end{cases} \quad x, w \in GF(2)$$

- ☑ **二元嵌入编码：** x 被嵌入后，可能的状态有2个

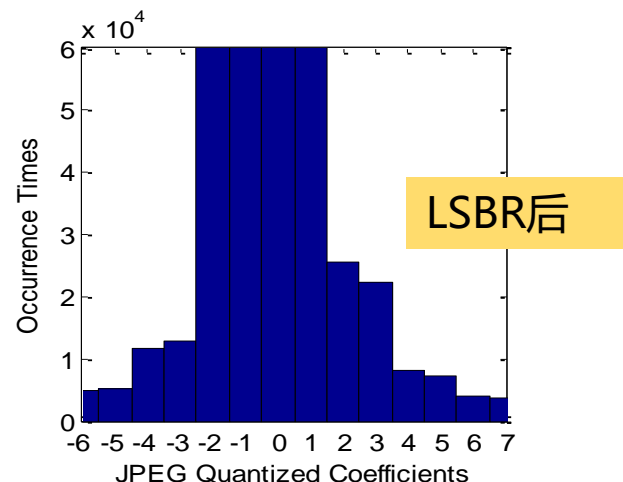
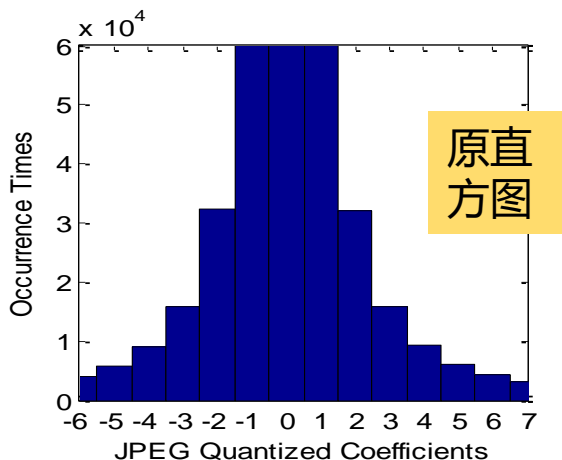


2-3 LSB替换嵌入：性质分析



- 由于多媒体在生成以及编码中均会引入噪声，使得LSB具备较强的随机性。这些噪声隐蔽了LSBR嵌入引入的噪声，使得在负载率一定的情况下，LSBR具有一定的安全性
- 但LSBR嵌入引入的统计特征变化也很明显：在载体的偶值点上数值只增不减，在奇值点上只减不增，如果负载率较高，这个特性使得相邻数值样点的个数接近，以后介绍的卡方 (χ^2) 特征将很准确地刻画这个变化；这样的奇偶相邻数值称为“值对”，例如对原始数值样点2与3，LSBR后，2只可能变为3，3只可能变为2，总有一个流入多于流出，使相邻数值更接近
- LSBR嵌入的嵌入效率约是2b/次修改

注：一个嵌入效率可以对应不同的负载率，例如，在以上2b/次嵌入效率下，隐写方案可以仅仅按照密钥选择100%或者50%的样点用于承载信息，则负载率分别是1bpp或者0.5bpp





2-4 LSB替换嵌入的变异

- ☒ 在以上嵌入中，一个偶数与其邻值奇数形成值对，其中，偶数的绝对值小，奇数的绝对值大，在一些情况下，需要反过来，这样，在需要修改的时候，可以对奇数绝对值加1，对偶数绝对值减1，称这样的LSBR为**奇小偶大值对LSBR**
- ☒ 实例：
 - ☒ JPEG量化系数是经常使用的嵌入域，其中，系数值有正有负，0值分布较多，为了不显著改变0值的出现频次，一般0、1与-1都不用于嵌入，这样最小的**值对**是2与3、-2与-3，奇小偶大值对LSBR的直接好处是，它可以使得1与2、-1与-2为最小值对，从而利用了分布较密的1与-1。下一讲将会看到，基于模型的隐写（MB, Model Based）采用了奇小偶大值对LSBR
- ☒ 显然，奇小偶大值对LSBR与原LSBR在主要性质上等价



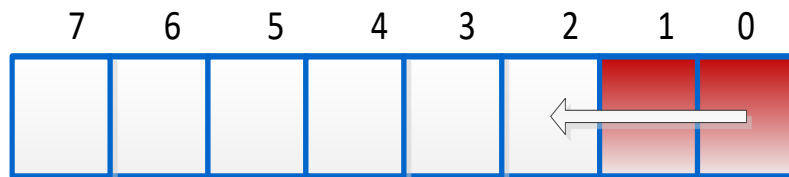
2-5 LSB匹配嵌入：操作（三元嵌入编码）



- LSB匹配 (LSB Matching, LSBM) 嵌入有助于克服出现以上的 χ^2 特征。在LSBM嵌入中，也是用最后的LSB承载秘密消息，但是，当需要修改LSB的值时，LSBM嵌入时通过对样点值做随机的加减1。设 \pm 表示随机加减1，则有：

$$x' = \begin{cases} x \pm 1, & x \equiv 0(\text{mod } 2), w = 1 \\ x \pm 1, & x \equiv 1(\text{mod } 2), w = 0 \\ x, & x \equiv 0(\text{mod } 2), w = 0 \\ x, & x \equiv 1(\text{mod } 2), w = 1 \end{cases} \quad x, w \in Z$$

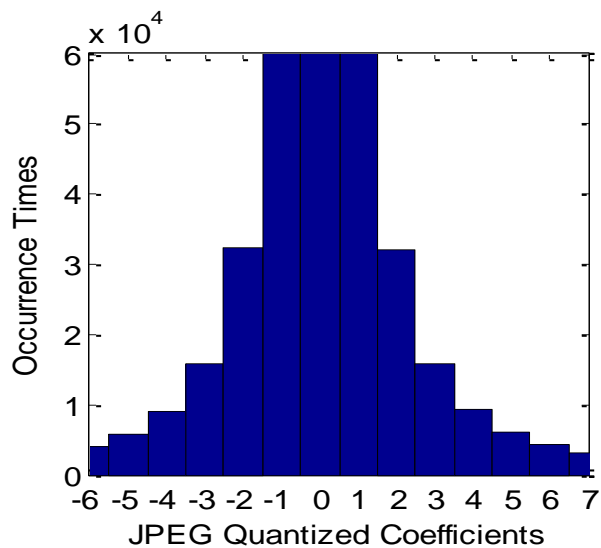
- 虽然以上操作可能会影响次LSB (Second LSB) 或者更高位平面的值，但是，修改的信号幅度仍与LSBR一样是1
- 三元嵌入编码： x 被嵌入后，可能的状态有3个



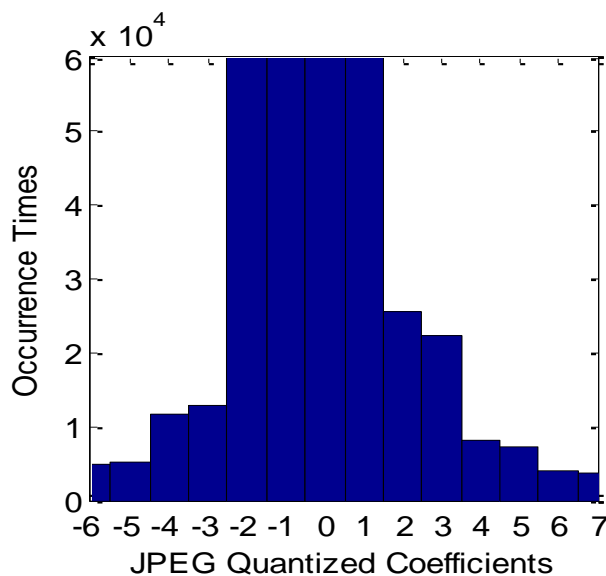
2-6 LSB匹配嵌入：性质分析



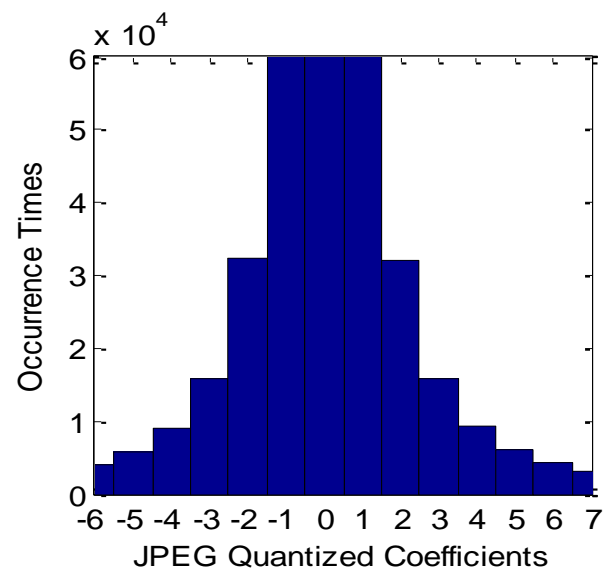
- 由于避免了相邻数值样点个数相互接近，在同等负载率下，LSBM隐写的安全性优于LSBR
- 但是，它们的嵌入效率都是 $2b$ /次。



原直
方图



LSBR后



LSBM后

2-7 调色板图像嵌入：初期方法



- ☒ **Gifshuffle**: 直接用调色板中色彩的排列顺序表达消息，设调色板中颜色数为 N ，则可以表达的信息量为 $\log_2 N!$
 - ☒ 当 $N=256$ ，能够传输的消息长度约为210字节
 - ☒ **分析**：一般调色板中颜色排序有一定规律，如参照了亮度、出现频度等因素，而以上随机排序使得调色板有显著的被处理特征
- ☒ **朴素的调色板项（索引值）奇偶分配，以支持类似的LSBR（问题归结奇偶分配问题）**
 - ☒ 将调色板中初始颜色数量控制在128个，在对索引值进行LSBR中，为每个修改后的索引生成一个相邻颜色与索引编号，约定其与原来的颜色具有相反的奇偶性，这样颜色数量仍然不多于256个
 - ☒ **分析**：大多数颜色一般在一个由2个数量更接近颜色组成的分组中
 - ☒ **EzStego**：先按照亮度排序调色板，再对索引值进行LSBR，实际亮度序号的奇偶性就是颜色的奇偶性
 - ☒ **分析**：亮度值相邻的颜色可能很不相同，因此，隐写后的图像在色彩上存在显著的跳跃



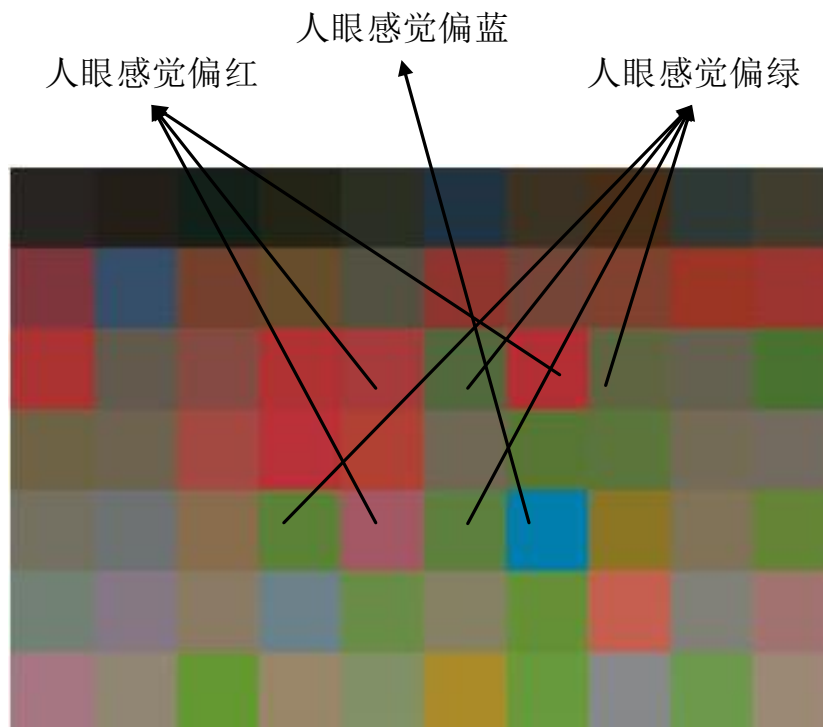
2-8 调色板图像嵌入：分量和方法



- 显然需要更好地分配调色板颜色的奇偶性
- 分量和隐写定义了调色板颜色的距离，在需要修改的情况下，选择距离最短并且分量和最低位奇偶性不同的颜色替换

$$d_{\text{RGB}}(c_i, c_j) = \sqrt{(r_i - r_j)^2 + (g_i - g_j)^2 + (b_i - b_j)^2}$$

- 但是，以上不能确保是最邻近颜色的索引值替换



2-9 调色板图像嵌入：OPA方法



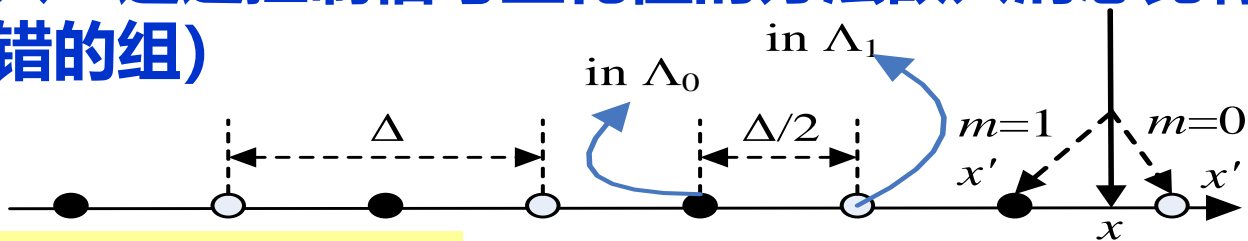
- ☒ c_i 的奇偶性以 $P(c_i)$ 表示, 距 c_i 最近的颜色用 s_i 表示; OPA隐写通过以下奇偶分配使得 c_i 与 s_i 必定奇偶性不同:
- ☒ **最佳奇偶分配 (Optimum Parity Assignment, OPA) 隐写**
 - 用以上公式**计算所有颜色的距离** $d[i, j] \triangleq d_{RGB}(c_i, c_j)$; 令 $P = \{\emptyset\}$.
 - **排序全部 $d[i, j]$** , 得到非递减序列 $D = \dots d[u, v] \leq d[k, l] \dots$; 对相等的距离, 采用一定的方法使得 D 为唯一排序, 例如按照颜色索引值的大小对相等距离排序。
 - 反复执行以下步骤直到调色板中全部 N 个颜色都进入 P 中:
 - 在 D 中选择下一个 $d[i, j]$, 其中, $c_i \notin P$ 或者 $c_j \notin P$, 若没有这样的 $d[i, j]$ 了, 说明 P 中已经包含了全部 N 个颜色, 算法结束; 否则:
 - **(a)** 如果 $c_i \notin P$ 且 $c_j \notin P$, 分配相反的奇偶属性给 c_i 与 c_j , $P = P \cup \{c_i\} \cup \{c_j\}$ 。
 - **(b)** 如果 $c_i \notin P$ 且 $c_j \in P$, 则令 $P(c_i) = 1 - P(c_j)$, $P = P \cup \{c_i\}$ 。
 - **(c)** 如果 $c_i \in P$ 且 $c_j \notin P$, 则令 $P(c_j) = 1 - P(c_i)$, $P = P \cup \{c_j\}$ 。





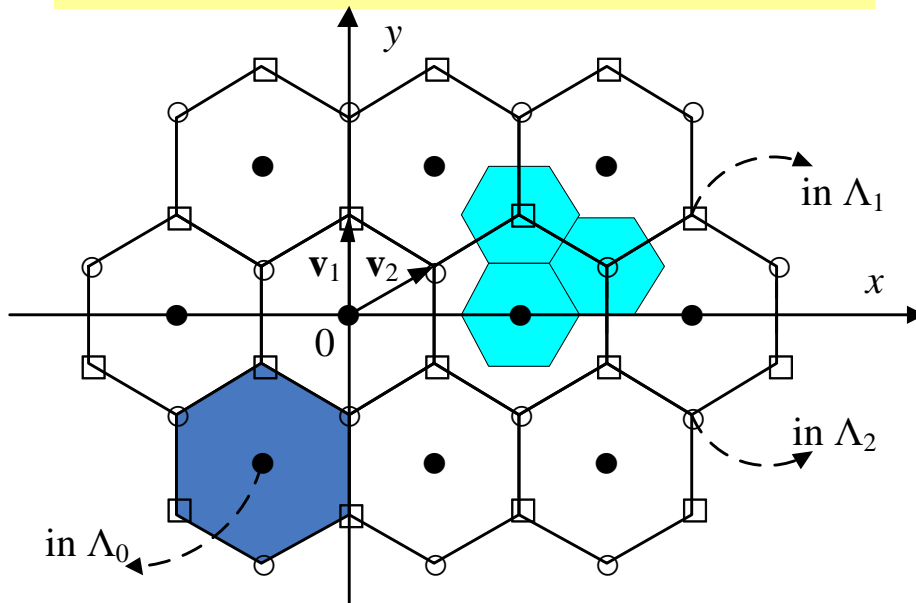
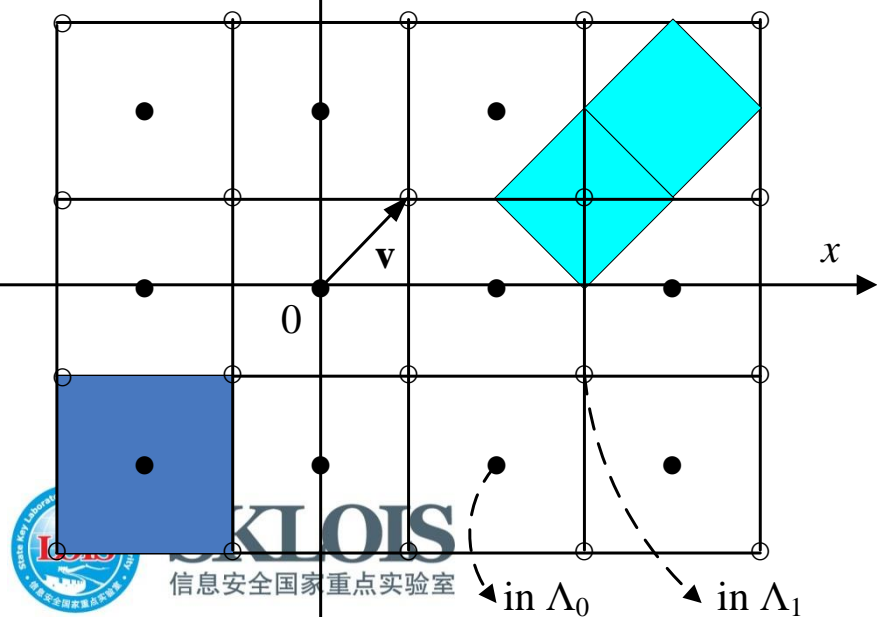
2-10 量化调制嵌入：思想

- 在信号量化中，格的作用是用最接近的格点值代替采样得到的实数信号值，实现用离散的样点代替连续信号；标量量化与矢量量化（信号量化中各个点作用一样）
- 量化调制嵌入：通过控制信号量化值的方法嵌入消息比特（分为不同类点交错的组）



待嵌入：01100111.....

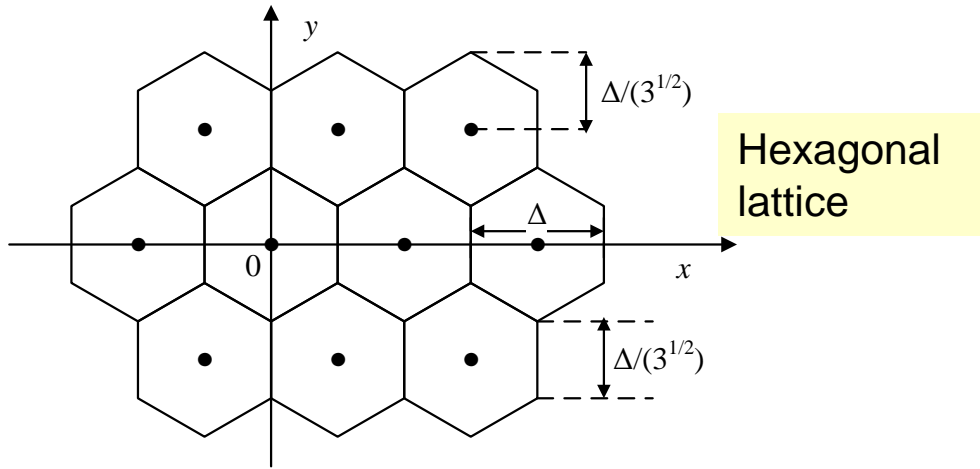
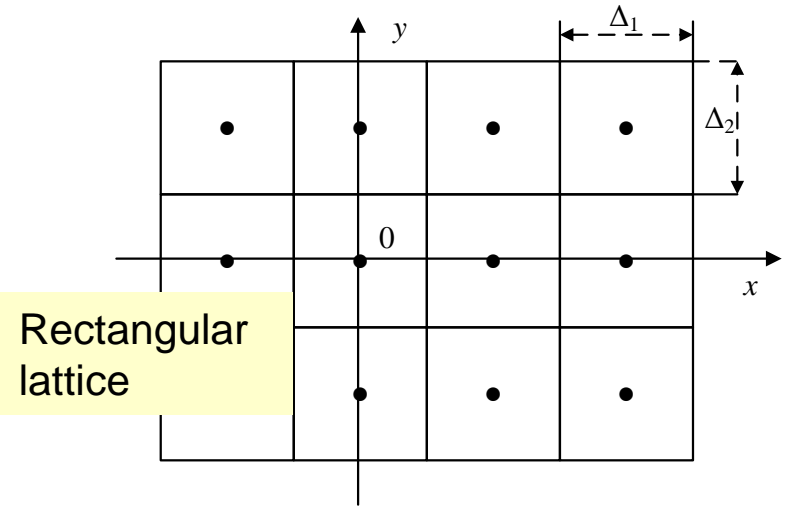
待嵌入：011202102.....





2-11 基础：格 (Lattice) 与量化 (Quantization)

几何上，格由欧式空间中连续堆砌的形状单元 (Voronoi cells) 中心点组成。针对一个输入，量化器选择一个最近的格点作为输出



代数上，格可由生成矩阵 G 定义

$$\mathbf{x} = (z_1, \dots, z_L) \cdot \begin{pmatrix} \mathbf{g}_1 \\ \vdots \\ \mathbf{g}_L \end{pmatrix} = \mathbf{z} \cdot G \in \Lambda$$

一个格的 G 是确定的

2-D Hexagonal lattice

$$\mathbf{g}_1 = (\Delta, 0) \quad \mathbf{g}_2 = (\Delta/2, \Delta\sqrt{3}/2)$$

L-D Rectangular lattice

$$\mathbf{g}_1 = (\Delta_1, \dots, 0), \quad \mathbf{g}_2 = (0, \Delta_2, \dots, 0), \quad \dots, \quad \mathbf{g}_L = (0, \dots, \Delta_L)$$



2-12 量化调制嵌入：格、子格与陪集



- ☒ **格 (Lattice)** 是 N 维欧式空间 R^N 中数值点组成的加群，由有规律分布于整个空间的离散点组成
- ☒ 每个点是一个基本单元 (Voronoi Cell) 的中心，这些单元规则排列并均匀覆盖整个空间，其中，相邻格点的距离相同，一般称为量化阶 (Step Size)，记为 Δ
- ☒ 为了利用量化调制嵌入 p 元编码信息，需要将一个格分化为 p 个子格 (Sublattice) 陪集 (Coset)：
 - ☒ 若在格 Λ_{All} 中均匀等距地取格点组成子集 Λ_0 ，若 Λ_0 是加群，则它是一个子格；若果存在距离偏移 $\{v_0 = 0, v_1, \dots, v_{p-1}\}$ ，使得 p 个 $\Lambda_i = \Lambda_0 + v_i$ 等距交错，并且它们是 Λ_{All} 的划分，则 Λ_i (包括 Λ_0) 是 Λ_0 的陪集





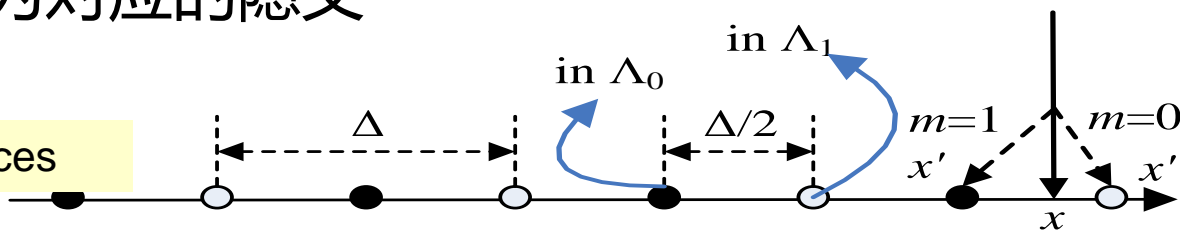
2-13 基本的量化嵌入——QIM

若 c 是一个原载体向量 (分组), s 是相应的含密分组, QIM (Quantization Index modulation) 采用 p 个格分别嵌入 p 个符号:

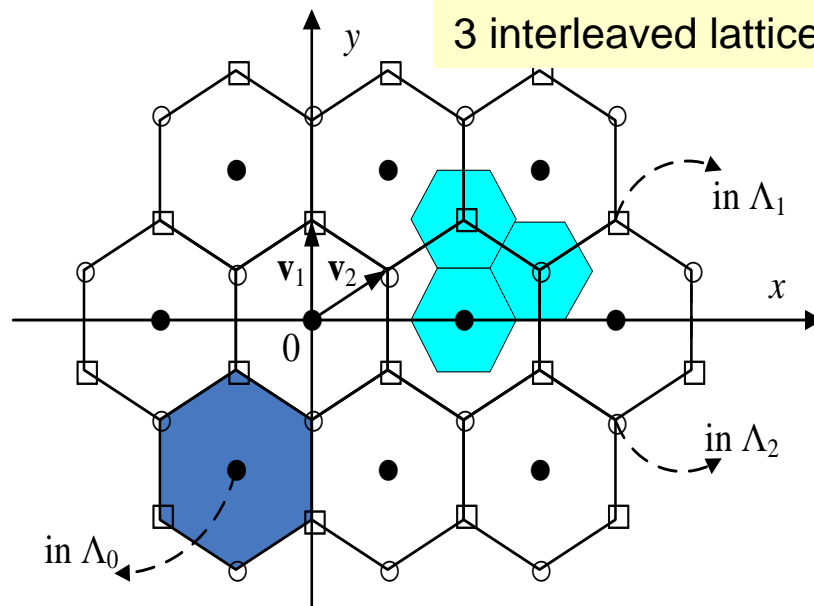
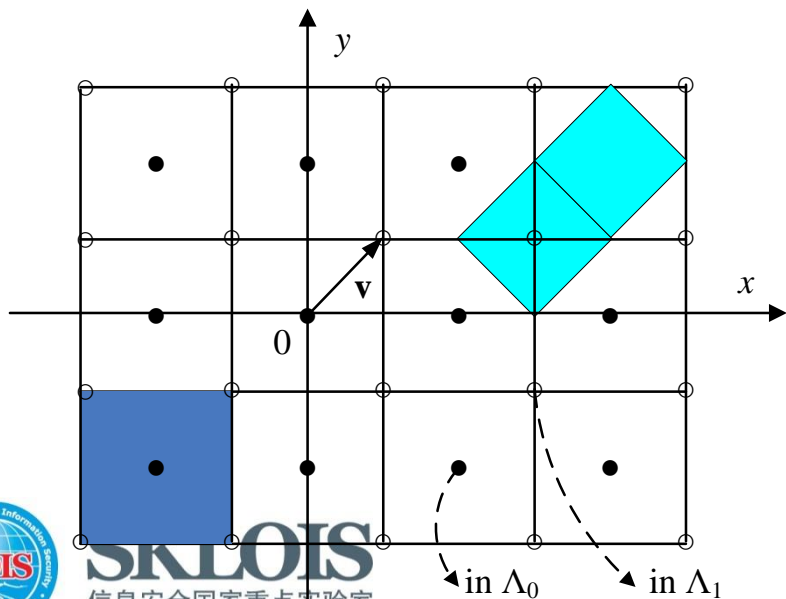
$$s = Q_m(c), m \in \mathcal{M} = \{0, 1, \dots, p-1\}.$$

$Q_m(\cdot)$: 专门用于嵌入 m 。针对输入 c , 它选择格 Λ_m 中离 c 最近的点 s 作为对应的隐文

2 interleaved lattices



3 interleaved lattices

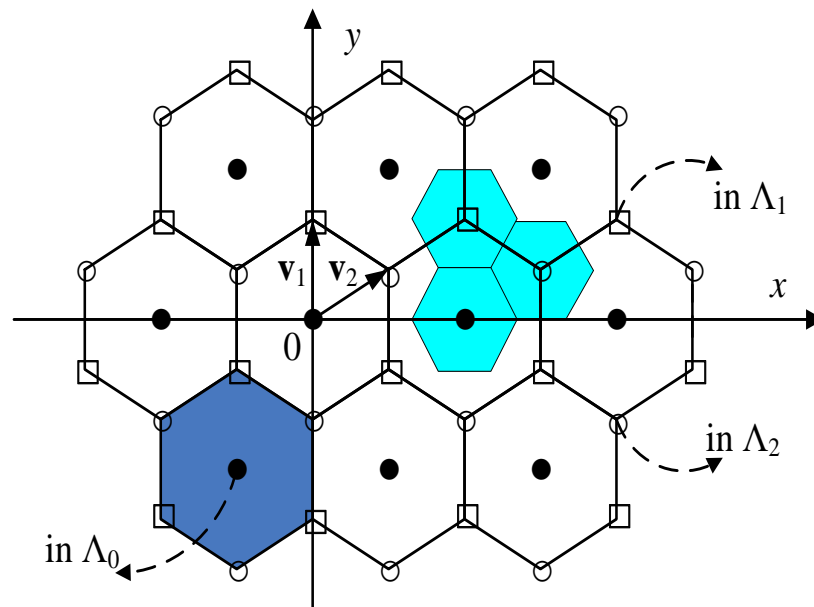
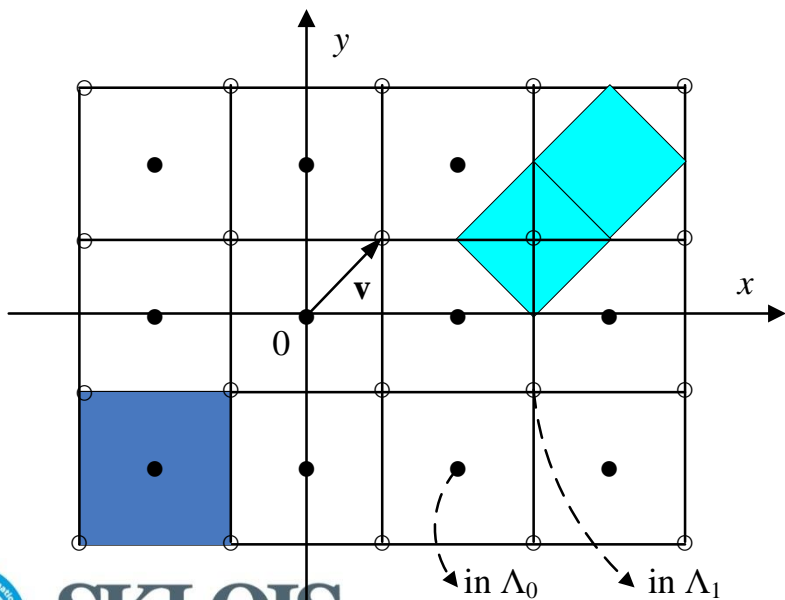
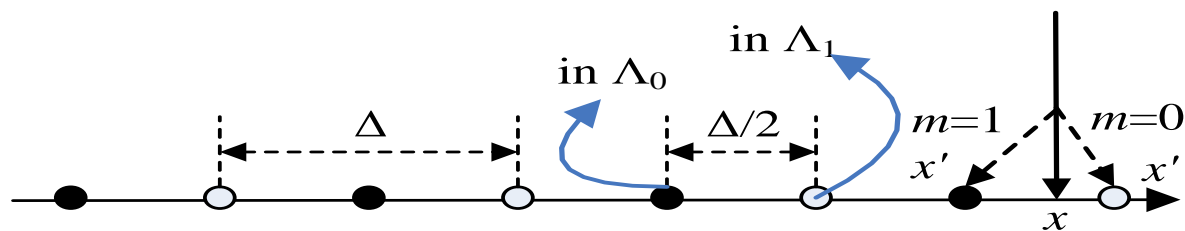




2-14 QIM嵌入的提取

若 y 是接收到的 s , 提取操作首先确定距离 y 最近的格 Λ_m , 输出 m 作为本次操作提取的消息符号

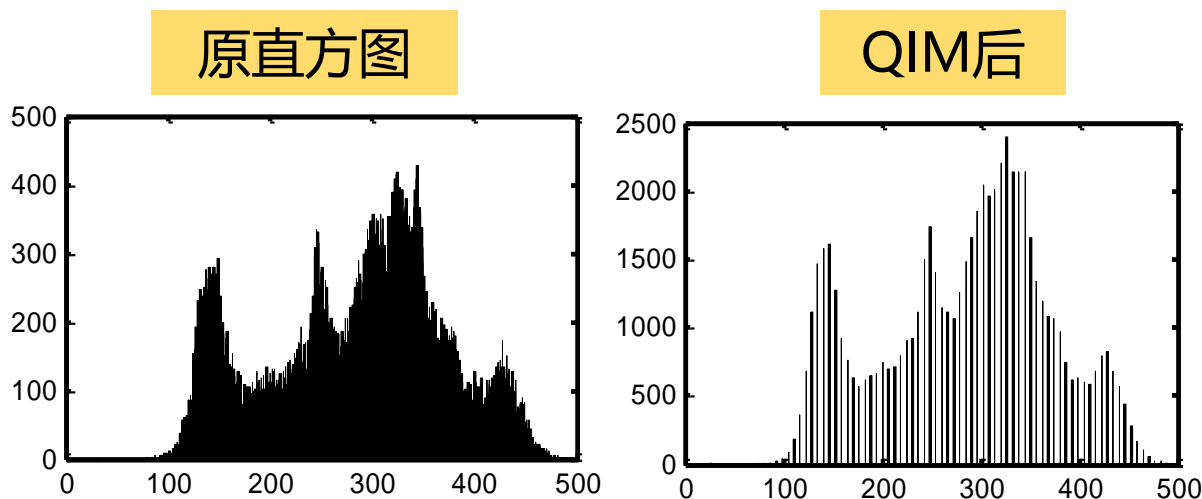
$$\hat{m} = \arg_{m \in \mathcal{M}} \min \text{dist}(y, \Lambda_m),$$



2-15 量化调制嵌入：QIM性质及其提高



- QIM理论具有很强的一般性意义
- QIM引入量化效应，数值数量下降，可以认为是一种隐写特征



- DM (Dither Modulation) 与DC-DM (Distortion Compensated DM) 通过保密平滑移动格位置与加回部分量化噪声等手段，加强了QIM的安全以及其在安全性与鲁棒性间的平衡能力



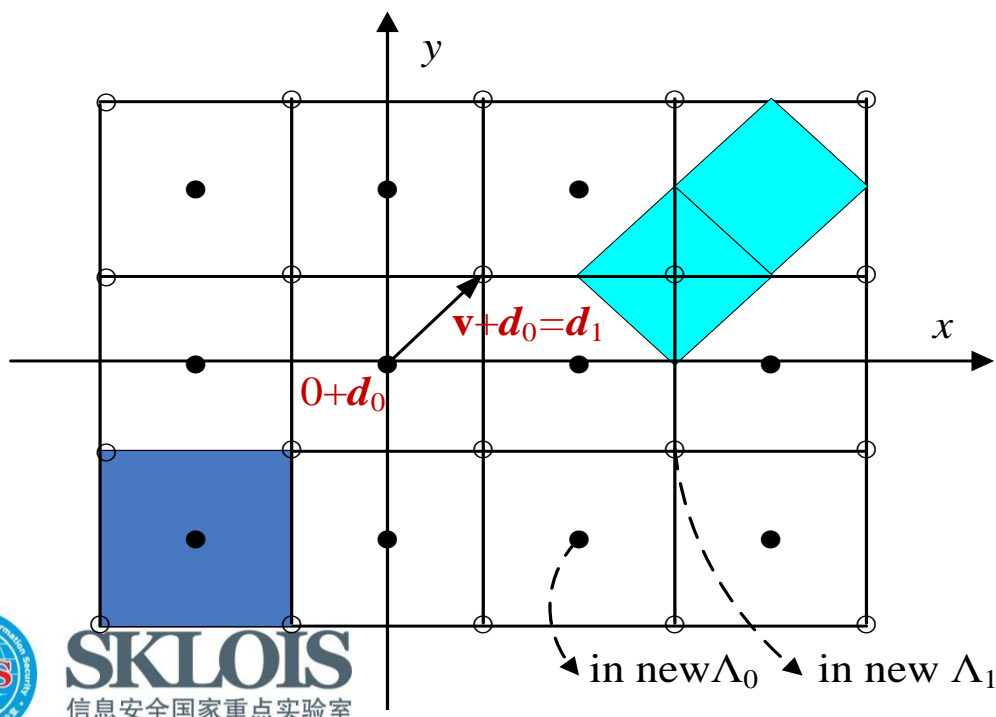
2-16 提高的QIM, Dither Modulation (DM)



- 由于 $s \in \Lambda_m$, QIM 减少了样点值数量, 很容易被发现存在隐写, 量化步长也容易估计; 非授权者甚至可提取嵌入的秘密消息
- DM 通过将格 **秘密** 移动 \mathbf{d}_m (抖动向量), 克服了以上缺点

$$s = Q_m(\mathbf{c}) = Q(\mathbf{c} - \mathbf{d}_m) + \mathbf{d}_m, m \in \mathcal{M},$$

在提取中, Λ_m 是移动后的格. $\hat{m} = \arg_{m \in \mathcal{M}} \min \text{dist}(\mathbf{y}, \Lambda_m)$,



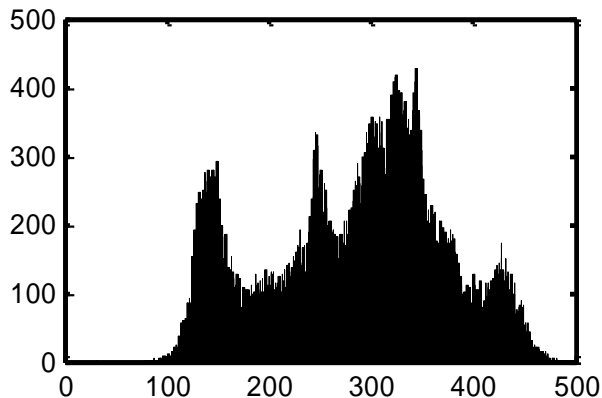
为了保持几何特性, 抖动向量之间的差需要保持一定。因此只有一个 \mathbf{d}_m 可以作为密钥

2-18 量化调制嵌入：QIM性质及其提高

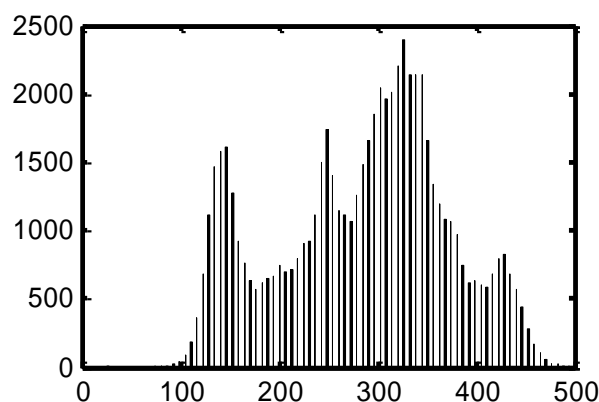


- 理论具有很强的一般性意义
- QIM引入量化效应，数值数量下降
- DM (Dither Modulation) 与DC-DM (Distortion Compensated DM) 通过保密平滑移动格位置与加回部分量化噪声等手段，加强了QIM的安全以及其在安全性与鲁棒性间的平衡能力

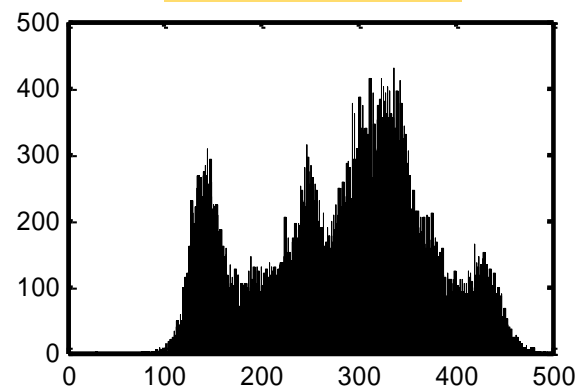
原直方图



QIM后



DM后



3 文献阅读推荐



- 教材第2章
- 推荐参考书的相关内容
- 关于图像格式的资料： JPEG File Interchange Format (JFIF)
- B. Chen, G. W. Wornel. Quantization index modulation: a class of provably good methods for digital watermarking and information embedding. IEEE Trans. Info. Theory, 47(4): 1423–1443, May 2001
 - 注：描述了量化索引调制 (QIM) 及其提高方法



谢谢!



中国科学院信息工程研究所
INSTITUTE OF INFORMATION ENGINEERING CAS



SKLOIS
信息安全国家重点实验室